

# 氧气对 MWPCVD 制备金刚石膜的影响

舒兴胜<sup>1)</sup> 邬钦崇 梁荣庆

(中国科学院等离子体物理研究所 合肥 230031)

## Influence of O<sub>2</sub> on Growth of Diamond Films by Microwave Plasma Chemical Vapor Deposition

Shu Xingsheng, Wu Qinrong, Liang Rongqing

(Institute of Plasma Physics, The Chinese Academy of Sciences, Hefei, 230031)

**Abstract** Diamond films were synthesized from CH<sub>4</sub>/H<sub>2</sub>/O<sub>2</sub> gas mixture by microwave plasma chemical vapor deposition (MW-PCVD) in a water-cooled reaction chamber. Influence of O<sub>2</sub> concentration on the film growth was studied with laser Raman spectroscopy and scanning electron microscopy (SEM). The results show that very low O<sub>2</sub> concentration markedly promotes diamond film deposition but slightly suppresses the amorphous carbon growth. Consequently, the content of amorphous carbon in the diamond films was drastically reduced. In contrast, higher O<sub>2</sub> concentration slows down the deposition of diamond more pronounced than that of amorphous carbon and results in higher content of amorphous carbon in the films. In addition, the existence of O<sub>2</sub> favorably affects the growth of diamond films with smaller grain sizes.

**Keywords** Microwave plasma chemical vapor deposition, Diamond films, O<sub>2</sub>

**摘要** 在水冷反应室式微波等离子体化学气相沉积装置中以混合的 CH<sub>4</sub>/H<sub>2</sub>/O<sub>2</sub> 为反应气体,研究了 O<sub>2</sub> 浓度对制备金刚石膜的影响。实验发现,很低浓度的 O<sub>2</sub> 会显著促进金刚石的沉积,并稍稍抑制非晶 C 的沉积,因而沉积膜中非晶 C 的含量急剧下降;较高浓度的 O<sub>2</sub> 会同时抑制金刚石和非晶 C 的沉积,但由于抑制金刚石的作用更强烈,沉积膜中非晶 C 的含量反而有所升高。另外, O<sub>2</sub> 的存在,有利于沉积颗粒较小的金刚石膜。

**关键词** 微波等离子体化学气相沉积 金刚石膜 氧气

中图分类号:O 484.1; TN 304.1<sup>+</sup>8 文献标识码:A 文章编号:0253-9748(2001)04-0281-04

微波等离子体化学气相沉积(MWPCVD)法是一种新的薄膜制备工艺<sup>[1]</sup>,具有无电极材料污染、反应基团密度高、活性强等优点,目前被特别应用于沉积金刚石膜的相关研究。MWPCVD 法制备金刚石膜过程中使用最多的反应气体为 CH<sub>4</sub>/H<sub>2</sub> 混合物,为尽可能降低金刚石膜中非金刚石相 C 的含量,CH<sub>4</sub> 的浓度必须选择得很低,因此金刚石膜的沉积速率就非常小,故在用 CH<sub>4</sub>/H<sub>2</sub> 进行金刚石膜的 MWPCVD 制备时,就存在沉积速率与沉积质量难以兼顾的矛盾。在反应气体中加入适量的 O<sub>2</sub>,可以在一定程度上解决这个问题,在保证金刚石膜沉积

质量的同时,提高其沉积速率<sup>[2,3]</sup>。然而在实验中发现,过量 O<sub>2</sub> 的添加却存在相反的效果:既抑制了金刚石膜的生长,又使沉积膜质量发生劣化。本文在较大的 O<sub>2</sub> 浓度范围内,就加 O<sub>2</sub> 对金刚石膜 MWPCVD 制备的影响进行了讨论。

### 1 实验过程

沉积金刚石膜实验在自行研制的水冷反应室式 MWPCVD 装置上进行<sup>[4]</sup>,反应气体是 CH<sub>4</sub>/H<sub>2</sub>/O<sub>2</sub> 混合物,沉积基片为镜面抛光的 n 型(100)取向的单晶硅片。

收稿日期:2000-08-07

基金项目:863 计划资助项目(863-715-002-0020)

1)通信联系人

### 1.1 基片预处理

由于金刚石极难于在表面光滑的非金刚石衬底上形核,故在沉积之前,必须首先对硅基片进行预处理。基片预处理的具体步骤为:先用粒度为  $0.5\ \mu\text{m}$  的金刚石粉研磨,接着置于粒度为  $0.5\ \mu\text{m}$  的金刚石粉的酒精悬浮液中超声振动 30 min,然后取出用去离子水进行漂洗。基片经预处理后,金刚石的形核密度大大提高。

### 1.2 金刚石形核

鉴于在有  $\text{O}_2$  存在、反应气压较高或微波输入功率较大的情况下,金刚石亦难于形核(有关讨论将另作报道),故形核时,  $\text{O}_2$  浓度选为 0,其他工艺参数如下:气体流量  $100\ \text{cm}^3/\text{min}$ (标准状态),  $\text{CH}_4$  浓度 2%,反应气压 5.3 kPa,微波输入功率 1000 W,基片温度  $710\ ^\circ\text{C}$ ,形核时间 30 min。

### 1.3 金刚石膜沉积

选择 5 种  $\text{O}_2$  浓度:0, 0.4%, 0.8%, 1.2%, 和 1.6%,进行金刚石膜的沉积实验,其他工艺参数固定如下:气体流量  $100\ \text{cm}^3/\text{min}$ (标准状态),  $\text{CH}_4$  浓度为 2%,反应气压 8.0 kPa,微波输入功率 1200 W,基片温度  $860\ ^\circ\text{C}$ ,沉积时间 12 h。

实验中,  $\text{CH}_4$ ,  $\text{H}_2$  和  $\text{O}_2$  的流量由北京建中机器厂生产的气体质量流量控制器测控,基片温度由中

国科学院自动化研究所研制的 CTF 型红外测温仪测量。对沉积出的薄膜用 Spex-1403 型喇曼分析仪进行激光喇曼(Raman)谱分析,以确定沉积膜中是否含有金刚石及确定膜中非金刚石相 C 的种类及其含量的变化趋势。另外,分析时激光功率固定,选为 200 mW,于是在获得的沉积样品的 Raman 谱中,对应特征峰的强度具有可比性,特征峰越强,则说明引起该峰出现的物质的量越多。实验中,用 X-650 型扫描电镜观察沉积膜表面的 SEM 形貌。

## 2 结果与分析

图 1 为不同  $\text{O}_2$  浓度下所沉积的 5 种样品膜的 Raman 谱,除图 1(e)之外,各谱图中均出现非常强的位于  $1332\ \text{cm}^{-1}$  处的金刚石特征峰,表明在 0, 0.4%, 0.8%, 1.2% 的  $\text{O}_2$  浓度下,沉积出的样品均为金刚石膜。另外,各谱图中还出现十分明显的中心位于  $1550\ \text{cm}^{-1}$  处的不对称宽峰,这是由畸变的  $sp^2$  和  $sp^3$  杂化键混合构成的非晶 C 的特征峰,说明沉积出的金刚石膜中含有一定量的非晶 C。而在图 1(e)所示的 Raman 谱中,只出现非晶 C 的特征宽峰,几乎未出现金刚石的特征峰,表明在 1.6% 的  $\text{O}_2$  浓度下沉积出的样品为非晶 C 膜。

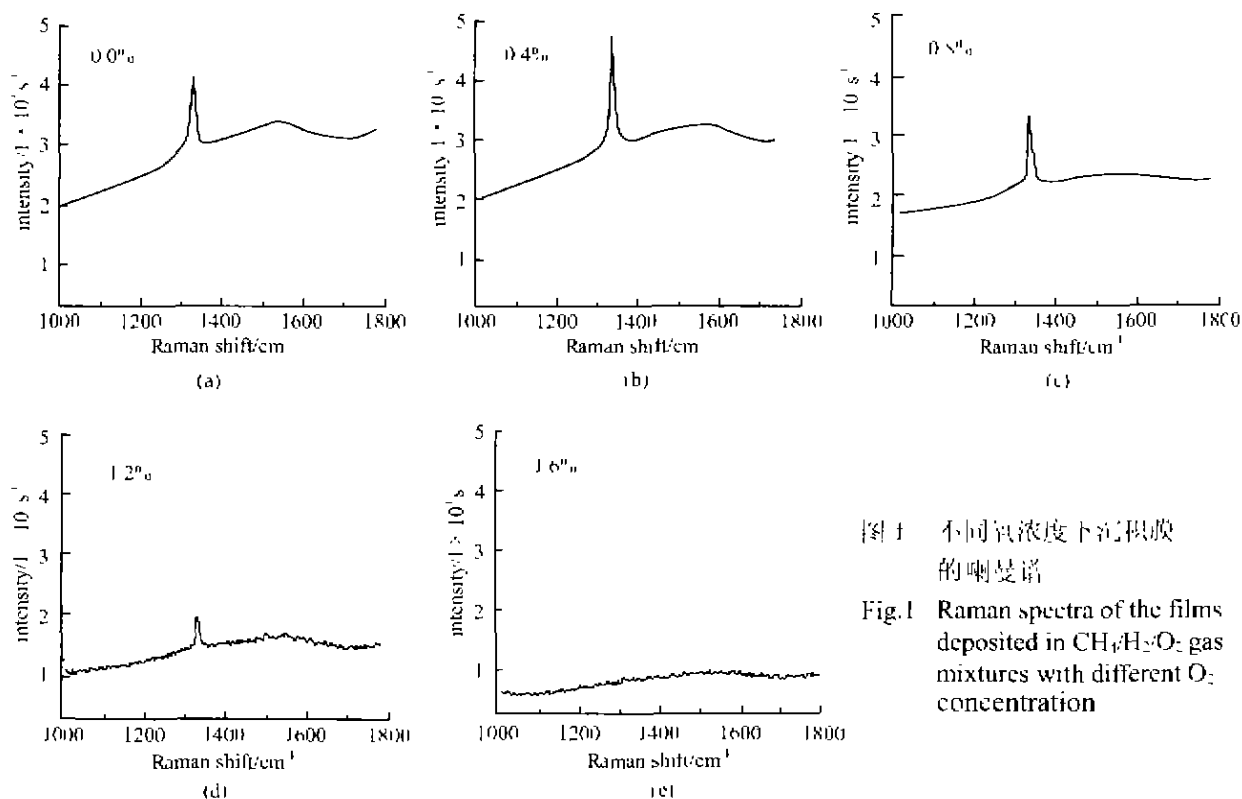


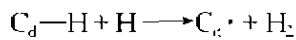
图1 不同氧浓度下沉积膜的喇曼谱

Fig.1 Raman spectra of the films deposited in  $\text{CH}_4/\text{H}_2/\text{O}_2$  gas mixtures with different  $\text{O}_2$  concentration

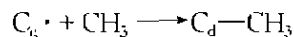
### 2.1 金刚石膜的沉积速率与 O<sub>2</sub> 浓度的关系

比较图 1(a)、(b)、(c)、(d)、(e) 5 条谱线可以看出,当在 CH<sub>4</sub>/H<sub>2</sub> 中添加浓度为 0.4% 的微量 O<sub>2</sub> 时金刚石峰大大增强;然而随着 O<sub>2</sub> 浓度的继续增加,金刚石峰又逐渐减弱,直至消失。这表明在很小的浓度下, O<sub>2</sub> 能促进金刚石的沉积,但在较大的浓度下, O<sub>2</sub> 对金刚石的沉积反而有阻碍作用,并且浓度越高, O<sub>2</sub> 对金刚石沉积的阻碍作用越大,直至完全抑制金刚石的沉积。

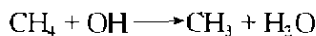
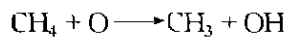
在 CH<sub>4</sub>/H<sub>2</sub> 中,金刚石的沉积是等离子体激发生成的原子氢(H)、金刚石的前驱体 CH<sub>3</sub> 与基片表面相互作用的结果。等离子体中存在的大量原子 H 扩散到基片表面,引起基片表面发生脱 H 反应,从而生成表面悬挂键:



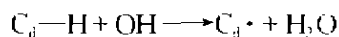
CH<sub>3</sub> 和悬挂键结合就完成了金刚石的一步生长<sup>[5]</sup>:



当在 CH<sub>4</sub>/H<sub>2</sub> 等离子体中添加微量的 O<sub>2</sub> 时,等离子体中会出现原子 O 和 OH 自由基<sup>[5]</sup>,在 O<sub>2</sub> 浓度很低时,微量的 O 和 OH 一方面引起 CH<sub>4</sub> 的进一步离解:

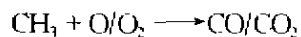
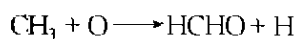


从而使 CH<sub>3</sub> 的浓度增加<sup>[6]</sup>,于是金刚石膜的沉积速率将随之提高。另一方面微量 OH 亦引起基片表面进一步脱 H:



从而产生更多的表面悬挂键<sup>[5]</sup>,更利于金刚石的沉积。这两方面的因素使得在很小的浓度下, O<sub>2</sub> 能促进金刚石的沉积。

然而,随着 O<sub>2</sub> 浓度的增加, O<sub>2</sub> 或 O 对 CH<sub>3</sub> 的氧化反应:

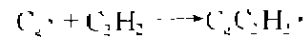


大大增强, CH<sub>3</sub> 倾向于生成稳定化合物 HCHO, CO, CO<sub>2</sub>, 于是 CH<sub>3</sub> 浓度反而逐渐降低。另一方面当 O<sub>2</sub> 浓度增加时,等离子体中 O 和 OH 的浓度亦随着上升,其对金刚石的刻蚀作用开始增强<sup>①</sup>,这两方面的因素促使过量添加的 O<sub>2</sub> 反而会阻碍金刚石的沉积,甚至当 H, O, OH 等对金刚石的刻蚀速率达到金刚石的沉积速率时,还会出现金刚石的生长被完全抑制的现象。

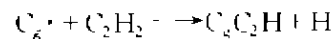
### 2.2 O<sub>2</sub> 浓度与非晶 C 伴随沉积的关系

比较图 1(a)、(b)、(c)、(d)、(e) 可以看出,当在 CH<sub>4</sub>/H<sub>2</sub> 反应气体中添加 O<sub>2</sub> 时,随着 O<sub>2</sub> 浓度的增加,非晶 C 特征宽峰的强度不断降低,表明 O<sub>2</sub> 对非晶 C 的沉积有抑制作用,并且 O<sub>2</sub> 浓度越大,这种抑制作用越强。

在 CH<sub>4</sub>/H<sub>2</sub> 混合气体中,非晶 C 的沉积过程与金刚石相似,主要由 C<sub>2</sub>H<sub>2</sub> 分子与基片表面经脱 H 反应而生成表面悬挂键结合而成<sup>[5]</sup>:



或



当在 CH<sub>4</sub>/H<sub>2</sub> 等离子体中添加 O<sub>2</sub> 时,随着 O<sub>2</sub> 浓度的增加, C<sub>2</sub>H<sub>2</sub> 的浓度不断降低,于是非晶 C 的沉积速率不断减小<sup>[2]</sup>。

其次,原子 H 对非晶 C 有强烈的刻蚀作用,该刻蚀反应的部分产物亦为 C<sub>2</sub>H<sub>2</sub><sup>[2]</sup>, C<sub>2</sub>H<sub>2</sub> 浓度的减小使该反应进行的程度更深,即 O<sub>2</sub> 浓度的增加亦促进了原子 H 对非晶 C 的刻蚀作用。

进而,等离子体中的 O<sub>2</sub>, O, OH 对非晶 C 亦有直接的刻蚀作用<sup>[2]</sup>,并随着 O<sub>2</sub> 浓度的增加而增强。上述三方面的因素使得 O<sub>2</sub> 对非晶 C 的沉积有抑制作用,并且,随着 O<sub>2</sub> 浓度的增加,这种抑制作用越来越强。

### 2.3 O<sub>2</sub> 浓度对金刚石膜中非晶 C 含量的影响

在沉积膜的 Raman 谱中,若相对于金刚石特征峰的强度 I<sub>d</sub>,非晶 C 特征峰的强度 I<sub>nc</sub> 越大,即强度比 I<sub>nc</sub>/I<sub>d</sub> 越大,则表明沉积膜中非晶 C 的含量越高<sup>[7]</sup>。因此根据强度比 I<sub>nc</sub>/I<sub>d</sub> 随 O<sub>2</sub> 浓度的变化情况就能定性推断沉积膜中非晶 C 的含量与 O<sub>2</sub> 浓度的关系。

图 2 给出了 O<sub>2</sub> 浓度分别为 0, 0.4%, 0.8%, 1.2% 时的 I<sub>d</sub>/I<sub>g</sub> 值(O<sub>2</sub> 浓度为 1.6% 时,由于金刚石峰强度 I<sub>d</sub> 几乎为 0, I<sub>nc</sub>/I<sub>d</sub> 值非常大,故未在图上标出)。结合图 1 和图 2 可以看出,当在 CH<sub>4</sub>/H<sub>2</sub> 中加入 0.4% 的微量 O<sub>2</sub> 时,金刚石峰明显增强,而非晶 C 峰稍稍减弱,于是 I<sub>nc</sub>/I<sub>d</sub> 值急剧降低,表明此时沉积膜中非晶 C 含量迅速减小。然而当 O<sub>2</sub> 浓度为 0.8% 时,尽管非晶 C 峰强度明显减弱,但由于金刚石峰强度亦明显削弱,并更为剧烈,于是 I<sub>nc</sub>/I<sub>d</sub> 值反而开始回升,说明此时沉积膜中非晶 C 的含量开始增大。进一步增加 O<sub>2</sub> 浓度,由于金刚石峰的强度仍比非晶 C 峰更剧烈地减弱, I<sub>nc</sub>/I<sub>d</sub> 值继续增

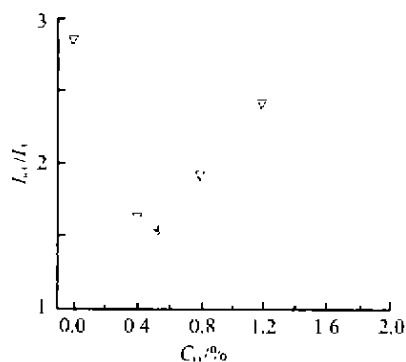


图 2 非晶 C 峰与金刚石峰强度比与  $O_2$  浓度的关系  
Fig. 2 Ratios,  $I_a/I_d$ , of amorphous carbon's scattering intensity to that of diamond plotted as a function of  $O_2$  concentration

大,说明沉积膜中非晶 C 的含量继续上升。

由此可见,在很低的  $O_2$  浓度下,由于  $O_2$  会显著促进金刚石的沉积,并稍稍抑制非晶 C 的沉积,因而沉积膜中非晶 C 的含量急剧下降。而在较高的  $O_2$  浓度下,尽管  $O_2$  会同时抑制金刚石和非晶 C

的沉积,但由于抑制金刚石的作用更强烈,因此沉积膜中非晶 C 的含量反而有所升高

#### 2.4 $O_2$ 浓度对金刚石膜 SEM 形貌的影响

图 3 给出了不同  $O_2$  浓度下所沉积的金刚石膜的 SEM 照片。从 SEM 形貌可以看出, $O_2$  浓度为 0 时,沉积的金刚石膜中颗粒大小几乎一致,平均大约为  $2.3 \mu\text{m}$ ,而尺寸小于  $1 \mu\text{m}$  的颗粒则很少出现(图 3(a))。  $O_2$  浓度为 0.4% 时,沉积膜中出现很多尺寸在  $1.5 \mu\text{m}$  左右的小颗粒,另外与  $O_2$  浓度为 0 时沉积的金刚石膜相比,尽管其中的大颗粒尺寸稍稍增大( $2.5 \mu\text{m}$ ),但数量却明显减少(图 3(b)),因此颗粒的平均尺寸有所减小。当  $O_2$  浓度增加到 0.8% 时,一方面,沉积膜中无论大颗粒( $2.1 \mu\text{m}$ )还是小颗粒( $0.8 \mu\text{m}$ ),其尺寸都明显减小;另一方面沉积膜中大颗粒数目急剧减少,小颗粒数目急剧增多(图 3(c))。表明  $O_2$  的添加,有利于沉积颗粒较小的金刚石膜,并且  $O_2$  浓度越大,这种倾向越明显。

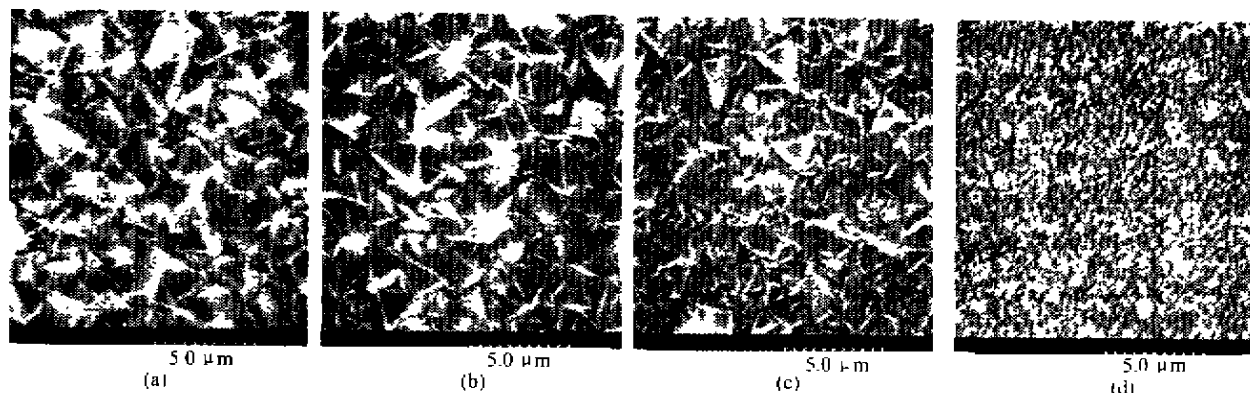


图 3 金刚石膜的 SEM 形貌。氧气含量:(a)0.0%,(b)0.4%,(c)0.8%,(d)1.2%

Fig. 3 SEM images of the diamond films deposited at the gas mixture with different  $O_2$  concentration:  
(a)0.0%,(b)0.4%,(c)0.8%,(d)1.2%

在  $O_2$  浓度较低时,由于沉积膜中仍存在较多的大颗粒,因此小颗粒的出现使得沉积膜中颗粒大小离散性加大,即较低浓度的  $O_2$  不利于沉积颗粒大小一致的金刚石膜。

不过进一步增加  $O_2$  浓度到 1.2% 时,沉积膜中颗粒尺寸又趋于一致( $0.3 \mu\text{m}$ ),极少出现较大的颗粒( $0.6 \mu\text{m}$ ),另外颗粒尺寸进一步减小,表明在  $O_2$  浓度较高的条件下,可沉积出颗粒尺寸既小又一致的金刚石膜。

### 3 结论

在用 MWPCVD 法制备金刚石膜时, $O_2$  的添加

对金刚石膜的沉积质量有很大的影响。

(1)在很小的  $O_2$  浓度下, $O_2$  能促进金刚石的沉积,但在较大的  $O_2$  浓度下, $O_2$  对金刚石的沉积反而有阻碍作用,并且浓度越高, $O_2$  对金刚石沉积的阻碍作用越大。

(2) $O_2$  对非晶 C 的沉积有抑制作用,并且  $O_2$  浓度越大,这种抑制作用越强。

(3)在  $CH_4/H_2$  中加入  $O_2$ ,随着  $O_2$  浓度增加,沉积膜中非晶 C 的含量先不断降低,到达谷点后又开始不断上升,直至金刚石的生长被完全抑制。

(4) $O_2$  的添加有利于沉积颗粒较小的金刚石膜。

(下转第 290 页)

的特征发射。

如图1所示,在 $\text{Eu}(\text{DBM})_2(\text{AA})\text{phen}$ 分子里存在乙烯基,乙烯基具有化学活性,容易和其它有机物结合。正是由于它的存在,在薄膜器件里, $\text{Eu}(\text{DBM})_2(\text{AA})\text{phen}/\text{TPL}$ (或 $\text{PVK}$ )的接触处的异质结效应降低,所以在低电压下,电流上升得很快。但是,随着电压的升高,其间内部电场增强,在强电场的作用下,有机膜接触处的异质结性增强,这样载流子能够注入到 $\text{Eu}(\text{DBM})_2(\text{AA})\text{phen}$ 膜层里形成激子,如前所述,激子复合时在器件内部进行能量传递,激发Eu离子使其进行特征发射,这就是实验中所观察到的“突然发光”现象的原因。

## 5 结论

稀土金属Eu的有机配合物 $\text{Eu}(\text{DBM})_2(\text{AA})-$

$\text{phen}$ 具有良好的光致发光性能,可以用于电致发光薄膜的研究。用 $\text{Eu}(\text{DBM})_2(\text{AA})\text{phen}$ 作发光层,用TPD和PVK分别作空穴传输层所制作的有机薄膜器件的电致发光颜色为红色、为金属Eu离子 $\text{Eu}^{3+}$ 的特征发射,器件的电致发光存在着“突然发光”的过程,它们的电致发光的亮度和效率是相对较高的。

## 参考文献

- 1 Tang C W, Vanslyke S A. Organic Electroluminescent Diodes. Appl Phys Lett, 1987, 51: 913
- 2 慈云祥,周天泽. 分析化学中的配位化合物. 北京: 北京大学出版社, 1986. 275 ~ 281
- 3 周公度,段连运. 结构化学基础. 北京: 北京大学出版社, 1995: 220 ~ 305

(上接第284页)

## 参考文献

- 1 Kamo M, Sato Y, Matsumoto S *et al.* Diamond Synthesis from Gas Phase in Microwave Plasma. J Crystal Growth, 1983, 62(3): 642
- 2 Kawato T, Kondo K I. Effects of Oxygen on CVD Diamond Synthesis. Jpn J Appl Phys. 1987, 26(9): 1429
- 3 Saito Y, Sato K, Tanaka H *et al.* Diamond Synthesis from Methane-hydrogen-water Mixed Gas Using a Microwave Plasma. J Mater Sci, 1988, 23: 842
- 4 吕庆敖, 郭钦崇. 微波等离子体化学气相沉积装置的工作原理. 真空与低温, 1997, 3(2): 74
- 5 Frenklach M, Wang H. Detailed Surface and Gas-phase Chemical Kinetics of Diamond Deposition. Phys Rev B, 1991, 43(2): 1520
- 6 Fan W Y, Röpeke J, Davies P B. Effect of Oxygen on Methyl Radical Concentrations in a  $\text{CH}_4/\text{H}_2$  Chemical Vapor Deposition Reactor Studied by Infrared Diode Laser Spectroscopy. J Vac Sci Technol A, 1996, 14(5): 2970
- 7 Shroder R E, Nemanich R J. Analysis of the Group-site Structures in Diamond Thin Films by Raman Spectroscopy. Phys Rev B, 1991, 41(6): 3738